

Chapitre 3:

Méthode des volumes finis pour Les problèmes de convection-diffusion (*)



Introduction : En mécanique des fluides la convection joue un rôle important. Nous allons examiner ici l'application de la méthode des volumes finis pour des situations où la convection a lieu en même temps que la diffusion. A l'état stationnaire l'équation de transport générale s'écrit pour une propriété physique φ comme suit :

$$\vec{\nabla}(\rho \vec{u} \varphi) = \vec{\nabla}(\Gamma \vec{\nabla} \varphi) + S_{\varphi} \quad (1)$$

terme de convection	terme de diffusion	terme source
------------------------	-----------------------	-----------------

Pour appliquer la méthode des volumes finis à l'équation (1) nous allons utiliser la même démarche que celle utilisée pour les problèmes de diffusion.

* - Reference : Versteeg, H.K., and W. Malalasekera.
An Introduction to Computational Fluid Dynamics:
The Finite Volume Method. England : Pearson Education Limited 2007.

Considérons le cas monodimensionnel sans terme source,
 l'équation (1) s'écrit :

$$\frac{d}{dx}(\rho u \varphi) = \frac{d}{dx} \left(\Gamma \frac{d\varphi}{dx} \right) \quad (2)$$

Le fluide doit satisfaire aussi l'équation de continuité :

$$\frac{d}{dx}(\rho u) = 0 \quad (3)$$

Considérons le volume de contrôle de la figure (1)
 centré sur le nœud P.

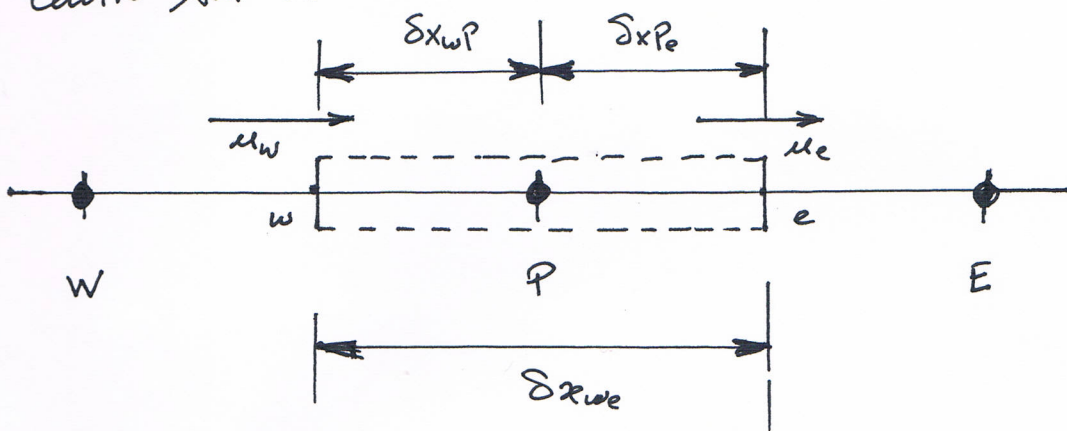


Figure -1-

L'intégration de l'éq. (2) sur le volume de contrôle de
 la fig. 1 donne :

$$(\rho u A \varphi)_e - (\rho u A \varphi)_w = \left(\Gamma A \frac{d\varphi}{dx} \right)_e - \left(\Gamma A \frac{d\varphi}{dx} \right)_w \quad (4)$$

L'intégration de l'éq. de continuité (3) donne

$$(\rho u A)_e - (\rho u A)_w = 0 \quad (5)$$

Pour $\bar{F} = \rho u$ et $D = \frac{\Gamma}{\delta x}$ (6)

Alors :

$$\begin{aligned} \bar{F}_w &= (\rho u)_w & \bar{F}_e &= (\rho u)_e \\ D_w &= \frac{\Gamma_w}{\delta x_{WP}} & D_e &= \frac{\Gamma_e}{\delta x_{PE}} \end{aligned} \quad (7)$$

Avec ces notations et en utilisant l'approximation d'une fonction affine par morceaux ou différences centrées utilisée pour le problème de diffusion l'équation (4) et l'éq. (5)

s'écrivent :

$$\bar{F}_e \varphi_e - \bar{F}_w \varphi_w = D_e (\varphi_E - \varphi_P) - D_w (\varphi_P - \varphi_w) \quad (8)$$

$$\bar{F}_e - \bar{F}_w = 0 \quad (9)$$

Nous admettrons ici que le champ de vitesse se est connu, il nous reste à estimer les valeurs de φ aux points e et w. Pour cela nous allons utiliser, en première approche l'approximation des différences centrées utilisée dans le cas de la diffusion. Pour une grille uniforme nous avons donc :

$$\varphi_e = (\varphi_P + \varphi_E) / 2 \quad (10)$$

$$\varphi_w = (\varphi_w + \varphi_P) / 2$$

En portant (10) dans (8) et (9) et après réarrangement

nous obtenons l'expression suivante :

$$a_p \varphi_p = a_w \varphi_w + a_E \varphi_E$$

(11)

avec

a_w	a_E	a_p
$D_w + \frac{\bar{v}_w}{2}$	$D_E + \frac{\bar{v}_E}{2}$	$a_w + a_E + (\bar{v}_E - \bar{v}_w)$

(12)

Nous pouvons remarquer (11) pour les problèmes de convection-diffusion prend la même forme que celle pour le problème de diffusion. La différence réside dans les coefficients a_w, a_E et a_p qui contiennent de nouveaux termes pour tenir compte de la convection.

- Considérons un exemple simple ou

$$D_E = D_w = 1 \quad \text{et} \quad \bar{v}_E = \bar{v}_w = 4$$

(13)

Aussi si

a) $\varphi_E = 200$ et $\varphi_w = 100$, l'éq. 11 donne

$$\varphi_p = 50!$$

(14)

b) $\varphi_E = 100$ et $\varphi_w = 200$, l'éq. (11) donne

$$\varphi_p = 250!$$

(15)

φ_p , en réalité ne doit pas se trouver en dehors de l'intervalle 100 - 200 délimité par ses voisins. Les résultats (14) et (15) ne sont pas réalistes!

Le schéma Upwind

La faille du schéma des différences centrées réside dans l'hypothèse que φ à l'interface e et w est approximée par la moyenne de φ_E et φ_P .

Le schéma Upwind propose une meilleure solution, plus réaliste. En effet et en accord avec les figures 2 et 3 dans le schéma Upwind on pose :

$$\varphi_e = \varphi_P \quad \text{si } f_e > 0, \quad \varphi_w = \varphi_W \quad \text{si } f_w > 0 \quad (16)$$

$$\varphi_e = \varphi_E \quad \text{si } f_e < 0, \quad \varphi_w = \varphi_P \quad \text{si } f_w < 0 \quad (17)$$

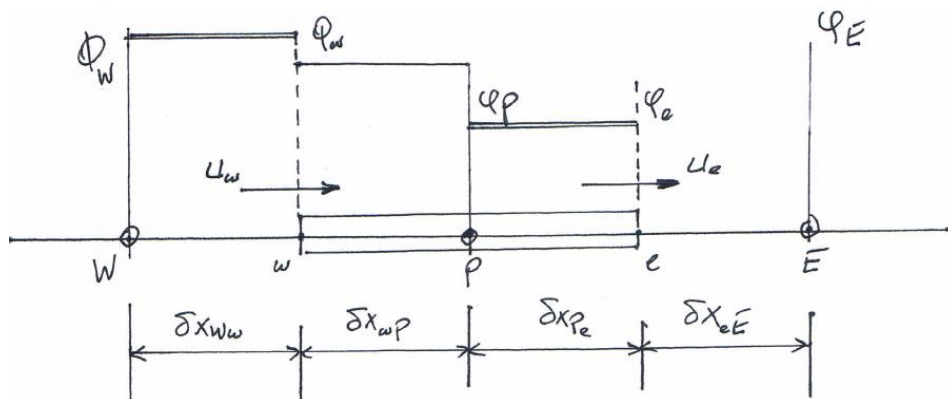


Fig. 2

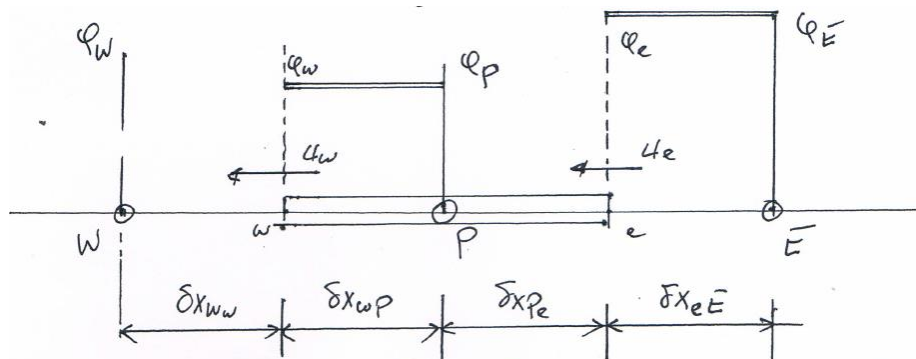


Fig. 3

(5)

Les conditions (16) et (17) peuvent être écrites de manière plus compacte comme suit :

Définissons d'abord l'opérateur suivant :

$$[[A, B]] = \max(A, B) \quad (18)$$

les équations (16) et (17) s'écrivent donc en tenant compte de (18)

$$F_e \varphi_e = \varphi_p [[F_{e,p}]] - \varphi_E [[-F_{e,p}]] \quad (19)$$

$$F_w \varphi_w = \varphi_w [[F_{w,p}]] - \varphi_p [[-F_{w,p}]] \quad (20)$$

Lorsqu'on remplace l'éq (10) par le concept (19-20) l'équation de discrétisation (8) s'écrit avec le schéma Upwind :

$$\varphi_p [[F_{e,p}]] - \varphi_E [[-F_{e,p}]] - \varphi_w [[F_{w,p}]] + \varphi_p [[-F_{w,p}]] = D_e (\varphi_E - \varphi_p) - D_w (\varphi_p - \varphi_w) \quad (21)$$

L'éq. 21 peut être arrangée sous la forme suivante :

$$\varphi_p ([[-F_{w,p}]] + D_w + [[F_{e,p}]] + D_e) = \varphi_w ([[F_{w,p}]] + D_w) + \varphi_E ([[-F_{e,p}]] + D_e) \quad (22)$$

Le coefficient de φ_p peut s'écrire comme suit

$$a_p = [[-F_{w,p}]] + D_w + [[F_{e,p}]] + D_e + [[F_{e,p}]] - [[F_{w,p}]] + [[-F_{e,p}]] - [[-F_{e,p}]]$$

en posant $a_w = [\bar{f}_{w,0}] + \Delta w$

et $a_E = [-\bar{f}_{E,0}] + \Delta E$

(24)

Le coefficient (23) s'écrit :

$$a_p = a_w + a_E + (\bar{f}_E - \bar{f}_w)$$

(25)

Finalement l'équ. de discrétisation s'écrit avec

le schéma upwind comme suit :

$$a_p \varphi_p = a_w \varphi_w + a_E \varphi_E$$

(26)

avec

$$a_w = [\bar{f}_{w,0}] + \Delta w$$

$$a_E = [-\bar{f}_{E,0}] + \Delta E$$

$$a_p = a_w + a_E + (\bar{f}_E - \bar{f}_w)$$